

文章编号：1001-4322(2006)08-1261-04

磷锗锌光学参量振荡器技术研究^{*}

鲁燕华，王卫民，彭跃峰，谢刚，庞毓，崔玲玲

(中国工程物理研究院 应用电子学研究所, 四川 绵阳 621900)

摘要：报道了一台高重复频率 $2 \mu\text{m}$ 光学参量振荡器泵浦的磷锗锌光学参量振荡器。磷锗锌晶体 (ZnGeP_2 , 简称 ZGP) 采用 I 类相位匹配方式, 切割角度 θ 为 55° , φ 为 0° , 尺寸 $5.5 \text{ mm} \times 6 \text{ mm} \times 18 \text{ mm}$, 在 4.0 kHz 重复频率下, 当注入 5.2 W 的 $2 \mu\text{m}$ 圆偏振光时, 获得 310 mW 中红外输出, p 偏振态 $2 \mu\text{m}$ 到 $3 \sim 5 \mu\text{m}$ 光-光转换效率 12% 。通过调节晶体的角度, 实验获得 ZGP 光学参量振荡器的波长调谐曲线, 在误差范围内与理论变化规律相符。

关键词：光学参量振荡器; 相位匹配; 磷锗锌晶体; 角度调谐; 中红外激光

中图分类号: TN248.1

文献标识码: A

中红外激光光源在成像激光雷达、温室气体探测、毒品稽查等领域具有广泛的应用。磷锗锌(ZGP)光学参量振荡器(OPO)是产生高重复频率、高平均功率中红外激光的最佳器件之一^[1]。要获得中红外激光输出, 首先必须产生稳定可靠的 $2 \mu\text{m}$ 泵浦源。P. A. Budni 等人用掺 Tm 和 Ho 的 YLF 激光器泵浦 ZGP 得到了 10 W ($3 \sim 5 \mu\text{m}$, 10 kHz 重复频率) 输出^[2], 而国际上更多的是采用 $1.06 \mu\text{m}$ 泵浦的 KTP 光学参量振荡器作为泵浦源^[3]。因掺 Ho 的 YAG 激光器不能在常温下工作, 本文采用内腔式 Nd:YAG 泵浦的 KTP 光学参量振荡器输出 $2 \mu\text{m}$ 激光。由于温度调谐方式需要在较大范围内对温度精确控制, 实现起来困难, 因此我们采用角度调谐方式。通过调节晶体的相位匹配角, 实验获得了 ZGP OPO 的波长调谐曲线, 在 $3.68 \sim 4.88 \mu\text{m}$ 内实现调谐输出, 实验曲线与理论曲线在误差范围内基本吻合。

1 ZGP OPO 角度调谐原理

磷锗锌晶体属于黄铜矿型结构, 42 m 点群, 透明范围为 $2 \sim 12 \mu\text{m}$, $2 \mu\text{m}$ 激光泵浦时非线性系数大 ($d_{36} = (75 \pm 8) \text{ pm/V}$, 有效非线性系数 Type I : $d_{\text{eff}} = d_{36} \sin(2\theta) \cos(2\varphi)$; Type II : $d_{\text{eff}} = d_{36} \sin(2\theta) \sin(2\varphi)$), 非常适合用于中红外光学参量振荡器。而且 ZGP 晶体热导率高 ($0.18 \sim 0.36 \text{ W} \cdot \text{cm}^{-1} \cdot \text{K}^{-1}$), 硬度大, 化学及机械性能稳定, 易于抛光和镀膜, 与同类晶体 (AgGaS_2 , AgGaSe_2 等) 相比优势巨大。

ZGP 属于正单轴晶体, Barnes 归纳其 Sellmeier 方程^[4]为

$$\begin{cases} n_o^2 = 4.644\ 67 + \frac{5.100\ 87\lambda^2}{\lambda^2 - 0.136\ 56} + \frac{4.277\ 77\lambda^2}{\lambda^2 - 1\ 653.89} \\ n_e^2 = 4.715\ 39 + \frac{5.263\ 58\lambda^2}{\lambda^2 - 0.143\ 86} + \frac{2.373\ 10\lambda^2}{\lambda^2 - 1\ 000.82} \end{cases} \quad (1)$$

当泵浦波长为 $2.10 \mu\text{m}$ 时, ZGP 晶体存在两类相位匹配方式

$$\begin{cases} \omega_p n_{p,o} = \omega_s n_{s,e} + \omega_i n_{i,e} & (\text{type I}) \\ \omega_p n_{p,o} = \omega_s n_{s,o} + \omega_i n_{i,e} & (\text{type II}) \end{cases} \quad (2)$$

式中: ω_p , ω_s , ω_i 分别表示泵浦波、信号波和空闲波的圆频率; $n_{p,o}$ 表示泵浦波为 o 光时的折射率, $n_{s,e}$ 代表信号波为 e 光时的折射率; $n_{i,e}$, $n_{s,o}$ 如此类推。

I 类相位匹配下泵浦波为 o 光(沿晶体 y 轴), 信号波和空闲波均为 e 光(在晶体 xz 平面), 三者折射率分别为

$$\begin{cases} n_{p,o} = n_o(\lambda_p) \\ n_{s,e} = [n_o^{-2}(\lambda_s) \cos^2 \theta + n_e^{-2}(\lambda_s) \sin^2 \theta]^{-1/2} \\ n_{i,e} = [n_o^{-2}(\lambda_i) \cos^2 \theta + n_e^{-2}(\lambda_i) \sin^2 \theta]^{-1/2} \end{cases} \quad (3)$$

* 收稿日期: 2006-04-27; 修订日期: 2006-06-14

基金项目: 国家 863 计划项目资助课题

作者简介: 鲁燕华(1981—), 男, 湖北鄂州人, 硕士, 主要从事二极管泵浦固体激光器研究; happyeleo@yahoo.com.cn。

式中: λ_p , λ_s , λ_i 分别表示泵浦波、信号波及空闲波的波长; θ 表示相位匹配角, 又称为晶体的切割角。

而 II 类相位匹配下泵浦波和信号波为 o 光(沿晶体 y 轴), 空闲波为 e 光(在晶体 xz 平面), 三者折射率分别为

$$\begin{cases} n_{p,o} = n_o(\lambda_p) \\ n_{s,o} = n_o(\lambda_s) \\ n_{i,e} = [n_o^{-2}(\lambda_i) \cos^2 \theta + n_e^{-2}(\lambda_i) \sin^2 \theta]^{-1/2} \end{cases} \quad (4)$$

将(3)式、(4)式分别代入光参量振荡器的能量和动量方程, 得到两类相位匹配方式下 ZGP 晶体角度调谐曲线, 分别如图 1 和图 2 所示。

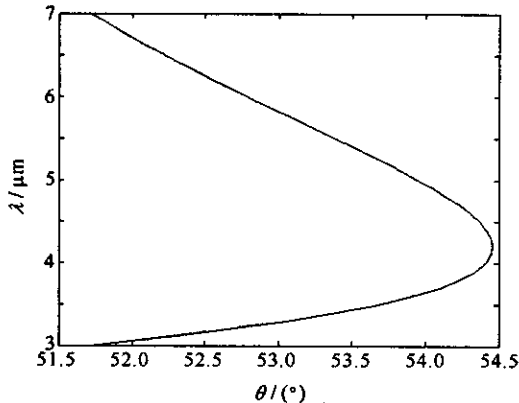


Fig. 1 Type I phase matching angle tuning curve of ZGP OPO

图 1 ZGP OPO I 类相位匹配角度调谐曲线

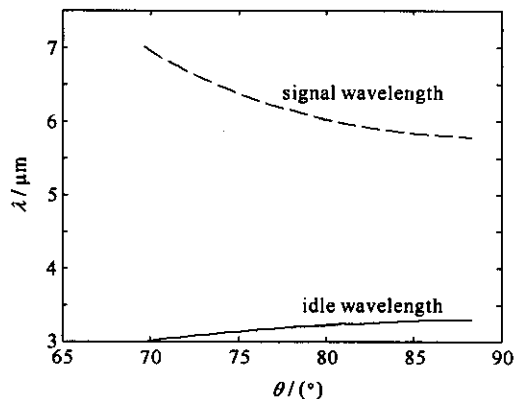


Fig. 2 Type II phase matching angle tuning curve of ZGP OPO

图 2 ZGP OPO II 类相位匹配角度调谐曲线

比较图 1 和图 2 知, II 类相位匹配下在 $3\sim 5 \mu\text{m}$ 范围内仅仅能获得 $3.0\sim 3.3 \mu\text{m}$ 这小段波长调谐, 而 I 类相位匹配下能在 $3\sim 5 \mu\text{m}$ 整个范围内实现波长调谐, 因此实验中采用 I 类相位匹配方式。

2 实验装置

由图 1 可见, 在 I 类相位匹配下当泵浦波长为 $2.10 \mu\text{m}$, 晶体切割角度 $\theta=54.4^\circ$, $\varphi=0^\circ$ 时, ZGP 光学参量振荡器在 $4.20 \mu\text{m}$ 处简并输出, 即信号波长刚好与空闲波长相等。因此为了便于角度调谐, 晶体切割角度应在 $\theta=54.4^\circ$ 附近。实验中 ZGP 晶体实际切割角度 $\theta=55^\circ$, $\varphi=0^\circ$ (购买晶体时按 $2.05 \mu\text{m}$ 泵浦源计算所得), 尺寸大小 $5.5 \text{ mm} \times 6 \text{ mm} \times 18 \text{ mm}$ 。在实验中晶体必须与光轴有一定倾斜角度, 如图 3 中旋转方向微小转动晶体。所用的 $2 \mu\text{m}$ 激光是利用内腔式 Nd: YAG 泵浦的 KTP 光学参量振荡器来产生的^[5]。为了降低泵浦振荡阈值, ZGP OPO 采用双谐振方式, 装置如图 3 所示。

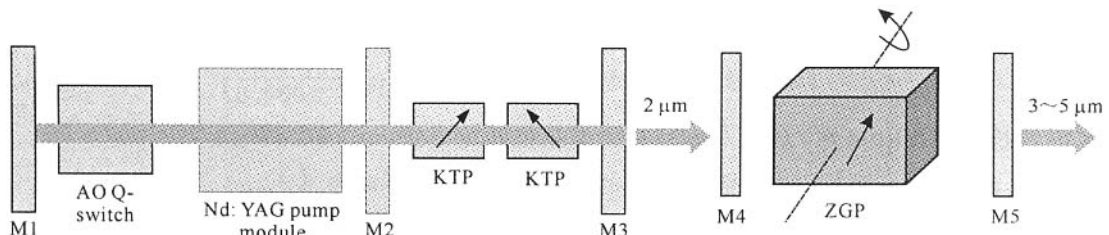


Fig. 3 Schematic of the experimental setup of ZGP OPO

图 3 ZGP OPO 实验装置简图

图中, M1, M2, M3, M4, M5 均为平面镜, 其中 M1, M3 以及 Nd: YAG 棒组成 $1.064 \mu\text{m}$ 激光器; 而 M2 和 M3 与 KTP 晶体在 $1.064 \mu\text{m}$ 激光器的腔内构成光学参量振荡器; M4 和 M5 与 ZGP 晶体又构成第二级 ZGP 光学参量振荡器。M1 对 1.064 和 $2.10 \mu\text{m}$ 激光均全反射; M2 对 $1.064 \mu\text{m}$ 激光透射率大于 99% , 对 $2.10 \mu\text{m}$ 激光全反射; M3 对 $1.064 \mu\text{m}$ 激光全反射, 对 $2.10 \mu\text{m}$ 激光反射率为 60% ; M4 对 $2.10 \mu\text{m}$ 激光透射率大于 99% , 对 $3.6\sim 4.5 \mu\text{m}$ 范围内的激光均全反射 ($>99\%$); M5 对 $2.10 \mu\text{m}$ 激光反射率大于 99% , 对 $3.6\sim 4.7 \mu\text{m}$ 范围内的激光部分反射, 平均反射率为 70% 。在 ZGP OPO 中我们没有采用 KTP OPO 中两块短晶体级联的方式来抑制走离效应, 这是因为 ZGP 晶体的走离长度很大, 设计长度远远小于走离长度。信号场和空闲场从噪声水平放大到给定水平需要一定时间, 这个时间称为建立时间。为减小建立时间, 就要求缩短腔长, 我们

设计的腔长 $L_c=24\text{ mm}$ 。晶体切割方向如图3中箭头所示, 调谐特性将在图示方向旋转一微小角度实现。

3 实验结果与分析

根据设计的实验装置, 在 $2.10\text{ }\mu\text{m}$ 泵浦源功率 P 高于起振阈值 P_{th} 时, 测得 $3\sim5\text{ }\mu\text{m}$ 激光的输出功率与 $2.10\text{ }\mu\text{m}$ 激光的输出功率关系, 如图4所示, $2.10\text{ }\mu\text{m}$ 激光为圆偏振光, 重复频率 4.0 kHz 。由图4可知, $2.10\text{ }\mu\text{m}$ 泵浦阈值约为 3.3 W , 当注入 $2.10\text{ }\mu\text{m}$ 激光 5.2 W 时获得 310 mW 中红外输出。

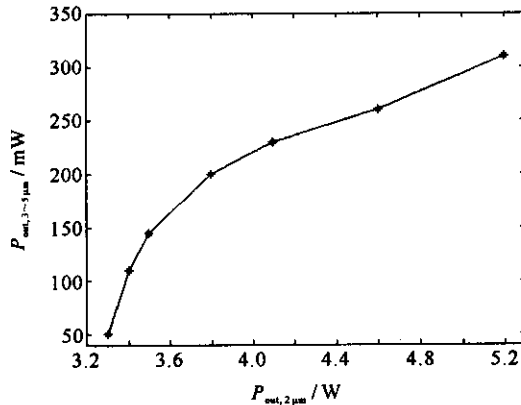


Fig. 4 Output power of $3\sim5\text{ }\mu\text{m}$ laser vs that of $2\text{ }\mu\text{m}$

图4 $3\sim5\text{ }\mu\text{m}$ 激光输出功率与 $2\text{ }\mu\text{m}$ 激光输出功率关系

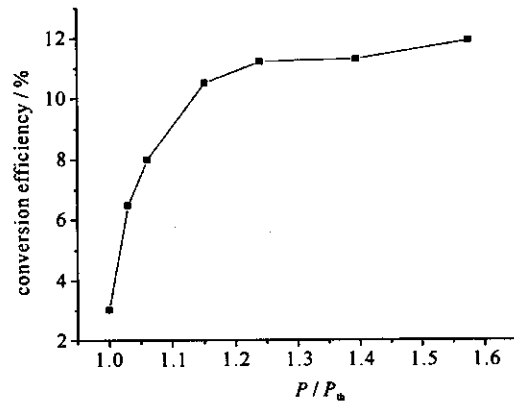


Fig. 5 Experimental conversion efficiency curve

图5 实验测得转换效率曲线

图5是基于图4描绘的转换效率曲线, 参量振荡过程中 $2.10\text{ }\mu\text{m}$ 激光仅 p 光起作用, 因此转换效率应以圆偏振态 $2.10\text{ }\mu\text{m}$ 激光功率的一半计算。在略高于阈值处转换效率增大迅速, 随着输入功率增加转换效率持续增大, 但增速逐渐变小, 变化规律与理论变化曲线^[5]一致。实验获得最大转换效率为 12% 。

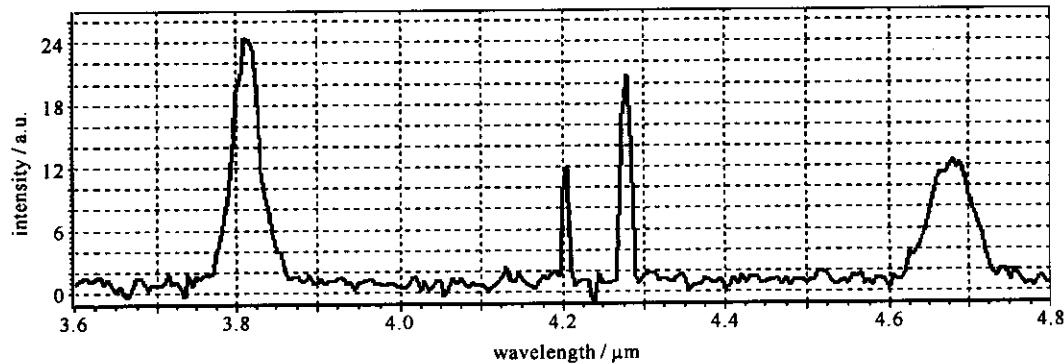


Fig. 6 Spectra of $3\sim5\text{ }\mu\text{m}$ laser

图6 中红外激光光谱图

图6是光谱仪测得 $3\sim5\text{ }\mu\text{m}$ 激光的光谱。从图中可看出有4个波长激光输出, 对应中心波长分别为 $3.82, 4.20, 4.28$ 和 $4.68\text{ }\mu\text{m}$ 。 $3.82\text{ }\mu\text{m}$ 和 $4.68\text{ }\mu\text{m}$ 构成一对信号波和空闲波, 对应泵浦波波长 $2.10\text{ }\mu\text{m}$; 而 $4.20\text{ }\mu\text{m}$ 和 $4.28\text{ }\mu\text{m}$ 构成另一对信号波和空闲波, 对应泵浦波长 $2.12\text{ }\mu\text{m}$ 。这说明两块KTP晶体角度没有理想完全对齐, 造成 $2\text{ }\mu\text{m}$ 泵浦源有两个波长。

图7给出ZGP OPO在不同相位匹配角下的波长调谐曲线。实际波长都是信号波和空闲波成对出现, 图中的点表示较小的信号波波长。比较实验获得的角度调谐曲线和理论计算所得的角度调谐曲线, 可以发现虽然两者各个点不精确重合, 但两者之间误差较小, 变化规律一致, 曲线基本吻合。

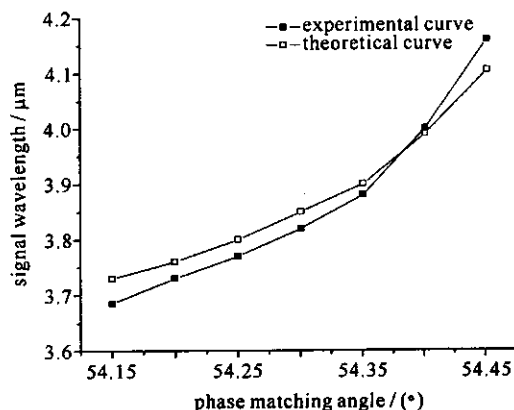


Fig. 7 Experimental angle tuning curve of ZGP OPO

图7 实验测得ZGP OPO角度调谐曲线

4 结 论

本文利用内腔式 KTP OPO 产生 $2.10\text{ }\mu\text{m}$ 激光, 泵浦 I 类相位匹配磷锗锌晶体, 实验获得 310 mW 中红外输出, 信号波波长 $3.82\text{ }\mu\text{m}$, 空闲波波长 $4.68\text{ }\mu\text{m}$, 重复频率 4.0 kHz, $2.10\text{ }\mu\text{m}$ 到 $3\sim5\text{ }\mu\text{m}$ 光-光效率 12%, 并实验验证了 ZGP OPO 的角度调谐特性。进一步的实验研究正在进行中, 应提高 ZGP 晶体中红外膜层损伤阈值以获得更高功率的输出。

参 考 文 献:

- [1] 姚宝权, 王月珠, 王骐, 等. 中红外光参量振荡器发展状况分析[J]. 激光技术, 2002, 26(3):217-220. (Yao B Q, Wang Y Z, Wang Q, et al. Development of mid-infrared optical parametric oscillator. *Laser Technology*, 2002, 26(3):217-220)
- [2] Budni P A, Pomeranz L A, Lemons M L, et al. 10 W mid-IR holmium pumped ZnGeP₂ OPO[J]. *Advanced Solid-State Lasers, OSA Trends in Optics and Photonics Series*, 1998, 19:226-229.
- [3] Phua P B, Lai K S, Wu R F. Coupled tandem optical parametric oscillator (OPO): an OPO within an OPO[J]. *Optics Letter*, 1998, 23(16):1262-1264.
- [4] Barnes N P, Murray K E, Jani M G. ZnGeP₂ parametric amplifier[J]. *J Opt Soc Am B*, 1998, 15(1):232-237.
- [5] 鲁燕华, 王卫民, 彭跃峰, 等. 内腔式 Nd: YAG 激光泵浦 KTP 双谐振光学参量振荡器[J]. 中国激光, 2006, 33(s0):189-191. (Lu Y H, Wang W M, Peng Y F, et al. Intracavity KTP doubly resonant optical parametric oscillator pumped by Nd: YAG laser. *Chinese Journal of Lasers*, 2006, 33(s0):189-191)

Zinc germanium phosphide optical parametric oscillator

LU Yan-hua, WANG Wei-min, PENG Yue-feng, XIE Gang, PANG Yu, CUI Ling-ling
(Institute of Applied Electronics, CAEP, P. O. Box 919-1013, Mianyang 621900, China)

Abstract: This paper reported a ZGP (zinc germanium phosphide) optical parametric oscillator (OPO) pumped by high-repetition rate $2\text{ }\mu\text{m}$ OPO. Type I ZGP crystal (ZnGeP_2) with the size of $5.5\text{ mm}\times6\text{ mm}\times18\text{ mm}$ was cut at phase matching angles of 55° and 0° . Under 4.0 kHz repetition rate, 310 mW mid-IR laser was obtained when the random polarization $2\text{ }\mu\text{m}$ pumping power was 5.2 W. The optical-to-optical efficiency of the p-polarized $2\text{ }\mu\text{m}$ to $3\sim5\text{ }\mu\text{m}$ was 12%. The experimental wavelength tuning curve of ZGP OPO was also achieved by tuning the angle of the ZGP crystal. It accorded with the theoretical rule in the error range.

Key words: Optical parametric oscillator; Phase matching; Zinc germanium phosphide; Angle tuning; Mid-IR-laser